

УДК 534.113+517.977.56

# ОПТИМИЗАЦИЯ ТЕПЛООБМЕНА В СТЕРЖНЕВЫХ СИСТЕМАХ, УПРАВЛЯЕМЫХ С ПОМОЩЬЮ ЭЛЕМЕНТОВ ПЕЛЬТЬЕ

Г.В. Костин

*Институт проблем механики им. А.Ю. Ишлинского РАН*

Россия, 119526, Москва, пр-т Вернадского, д. 101, корп. 1

E-mail: kostin@ipmnet.ru

**Ключевые слова:** управление системами с распределенными параметрами, термодинамика, оптимизация теплообмена.

**Аннотация:** Предложен подход к численному решению задачи оптимального управления процессом теплообмена в тонких прямолинейных стержнях, последовательно сопряженных через элементы Пельтье, которые создают тепловой поток в местах соединения. Математическая модель учитывает теплообмен с окружающей средой, собственную теплопроводность элементов Пельтье и термоизоляцию в конечных точках твердотельной конструкции. На заданном интервале времени ищутся функции управляющих тепловых потоков, которые переводят один из стержней в состояние с заданной температурой. Для расчетов с помощью МКЭ используется интегральное представление закона Фурье и закона теплообмена со средой. Анализируется регуляризация задачи с помощью добавки к целевому функционалу квадрата нормы вектора управления.

## 1. Введение

Одной из актуальных областей теории управления является оптимизация поведения динамических систем с распределенными параметрами. Теоретический базис управления такими системами, описываемыми, в частности, линейными параболическими уравнениями, заложен в [1, 2]. Актуальным вопросам оптимизации термодинамических процессов в теплопроводящих стержнях, совмещенных с твердотельными термоэлектрическими преобразователями (элементами Пельтье, ЭП), посвящена статья [3]. В этой работе на основе метода интегродифференциальных соотношений [4] дана обобщенная постановка задачи управления системой, состоящей из линейной цепочки стержней, которые разделены ЭП, создающими тепловые потоки между ними. С использованием метода Рунге-Кутты и метода конечных элементов (МКЭ) разработана процедура оптимизации изменения температурного режима на определенном участке стержневой системы. В отличие от рассмотренной в [5] задачи, для двух стержней со скалярным управляющим входом, в данной работе изучен более общий случай взвешенной минимизации нормы управления и терминального отклонения от желаемой температуры в рабочем стержне для случая векторного управления.

## 2. Постановка задачи управления

Рассмотрим термодинамическую систему, которая представляет собой линейную цепь, расположенную вдоль оси  $x$  и состоящую из  $L$  теплопроводящих стержней, соединенных друг с другом одинаковыми ЭП (см. Рис. 1). Линейный размер ЭП пренебрежимо меньше длины цепи  $\ell$ . Управляющий ЭП с номером  $i$ ,  $i = 1, \dots, L-1$ , расположен в точке  $x = x_i$ . Стержень с номером  $j$ ,  $j = 1, \dots, L$ , занимает интервал  $I_j = (x_{j-1}, x_j)$ . При этом  $x_0 = 0$  и  $x_L = \ell$ . Рассматриваемая цепочка твердых тел термоизолирована на свободных концах. Учитывается собственная теплопроводность ЭП и теплообмен стержней через боковую поверхность с внешней средой.

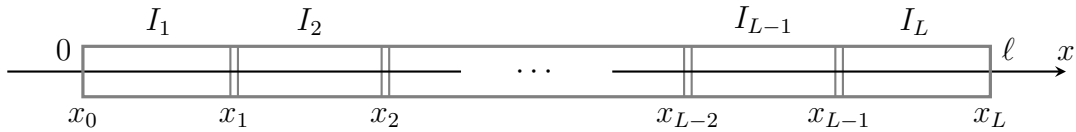


Рис. 1. Схема линейной цепи теплопроводящих стержней, соединенных ЭП

Ставится задача наилучшего приведения  $j$ -го стержня в состояние с заданным профилем температуры за фиксированное время  $T$  с помощью тепловых потоков  $u_i(t)$  ( $i = 1, \dots, L-1$ ), создаваемых ЭП. В обобщенном виде имеем:

$$\begin{aligned}
 (1) \quad J &= \sum_{n=1}^{L-1} \int_0^T u_n^2 dt + \frac{\bar{\kappa}^2 \gamma}{T \ell} \int_{I_j} (w|_{t=T} - w_T)^2 dx \rightarrow \min_{(u_n)_{n=1}^{L-1}}; \\
 F &= \int_{\Omega} (g^2 + \alpha^{-1} h^2) d\Omega = 0, \quad g = q + \lambda \partial_x w, \quad h = r - \alpha(w - w_a); \\
 \kappa \partial_t w + \partial_x q + r &= 0, \quad (t, x) \in \Omega \setminus \{(t, x) : x = x_n, n = 1, \dots, L-1\}; \\
 w(0, x) &= w_0(x), \quad x \in (0, \ell); \quad q(t, 0) = q(t, \ell) = 0, \quad t \in (0, T); \\
 [q(t, x_i)] &= 0, \quad q(t, x_i) = \beta[w(t, x_i)] + u_i(t), \quad i = 1, \dots, L-1, \quad t \in (0, T).
 \end{aligned}$$

Здесь  $F$  – квадратичная невязка локальных уравнений состояния стержней,  $\Omega = (0, T) \times (0, \ell)$  – пространственно-временная область,  $u_i(t)$  – управляющий тепловой поток через  $i$ -ый ЭП,  $w_T(x)$  – целевая температура  $j$ -го рабочего стержня,  $w_a(t, x)$  – известная температура окружающей среды,  $\alpha(x)$  – коэффициент теплообмена с окружающей средой,  $\kappa(x)$  – линейная теплоемкость цепи,  $\bar{\kappa} = \int_0^{\ell} \kappa dx$  – интегральная теплоемкость цепи,  $\lambda(x)$  – теплопроводность стержней,  $\beta$  – коэффициент собственной теплопроводности ЭП,  $\gamma$  – безразмерный весовой коэффициент. Известные переменные:  $w(t, x)$  – температура стержней с заданным начальным распределением  $w_0(x)$ ,  $q(t, x)$  – тепловой поток через поперечное сечение,  $r(t, x)$  – линейная плотность теплового потока через боковую поверхность. В (1) квадратные скобки означают скачок функции по координате  $x$ .

## 3. Алгоритм решения

Используя первый закон термодинамики (третья строка в (1)), выразим функцию теплового потока:  $q = -\int_0^x (\kappa w_t + r) d\chi$ . Для численного решения

прямой задачи динамики при фиксированном законе управления  $u_i(t)$ ,  $i = 1, \dots, L - 1$ , область  $\Omega$  разбивается на прямоугольные подобласти (элементы)  $\Omega_{m,n} = (t_{m-1}, t_m) \times (z_{n-1}, z_n)$ , где  $m = 0, \dots, M$ ,  $n = 0, \dots, N$ , а  $t_0 = 0$ ,  $t_M = T$ ,  $z_0 = 0$ ,  $z_N = \ell$ . Здесь  $M, N \in \mathbb{N}$  – параметры сетки и  $\{x_i\}_{i=0}^L \subset \{z_i\}_{i=0}^N$ . На каждом элементе  $(t, x) \in \Omega_{m,n}$  неизвестные переменные  $w$  и  $r$  представлены в виде линейной комбинации произведения полиномов Бернштейна от  $t$  и  $x$  степени  $K$ :

$$(2) \quad \begin{aligned} w(t,x) &= \sum_{j=0}^K \sum_{k=0}^K w_{m,n}^{(j,k)} B_{m,j}^t(t) B_{n,k}^x(x), & r(t,x) &= \sum_{j=0}^K \sum_{k=0}^K r_{m,n}^{(j,k)} B_{m,j}^t(t) B_{n,k}^x(x), \\ B_{m,j}^t &= \frac{K!(t-t_m)^j (t_{m-1}-t)^{K-j}}{j!(K-j)!(t_m-t_{m-1})^K}, & B_{n,k}^x &= \frac{K!(x-z_n)^k (z_{n-1}-x)^{K-k}}{k!(K-k)!(z_n-z_{n-1})^K}. \end{aligned}$$

Управляющие потоки  $u_n$ ,  $n = 1, \dots, L - 1$  аппроксимируются кусочно-полиномиальными функциями

$$(3) \quad \begin{aligned} u_n(t) &= \sum_{k=0}^K u_{m,n}^{(k)} B_{m,k}^t(t), & t &\in (t_{m-1}, t_m); \\ \mathbf{u} &= (u_{m,n}^{(j)})_{j(k,m,n)=1}^{N_u}, & j &= (K+1)M(n-1) + (K+1)(m-1) + j + 1, \end{aligned}$$

где  $\mathbf{u} \in \mathbb{R}^{N_u}$ ,  $N_u = (K+1)(L-1)M$ , – вектор управляющих параметров.

Удовлетворяя с помощью части коэффициентов  $w_{m,n}^{(j,k)}$  и  $r_{m,n}^{(j,k)}$  ограничения из (1), а также межэлементные условия непрерывности  $[w(t_m, x)] = 0$  и  $[w(t, z_n)] = 0$  при  $z_n \neq x_j$ , соберем все оставшиеся свободными параметры в вектор состояния  $\mathbf{y} \in \mathbb{R}^{N_y}$ , где  $N_y = M(N(2K^2 + 2K + 1) - L(K + 1) + 3K)$ . Подставляя после этого функции  $w, r$  из (2) и  $u$  из (3) в функционал  $F$  с учетом интегрального выражения для  $q$  и минимизируя получившуюся квадратичную функцию  $F(\mathbf{y}, \mathbf{u}) \rightarrow \min_{\mathbf{y}}$ , находим наилучший вектор для аппроксимации состояния  $\mathbf{y}^*(\mathbf{u}) = \mathbf{A}\mathbf{u} + \mathbf{y}_0$  как решение линейной системы, где матрица  $\mathbf{A}$  и вектор  $\mathbf{y}_0$  определяются из  $F$ .

Для минимизации функционала цены  $J$  из (1), подставим в  $J$  аппроксимации  $u_i(t, \mathbf{u})$  и  $w(t, x, \mathbf{u})$  для  $\mathbf{y}^*(\mathbf{u})$  и получим задачу безусловной минимизации квадратичной функции  $J(\mathbf{u}) \rightarrow \min_{\mathbf{u}}$ . Оптимальное значение вектора  $\mathbf{u}^*$  – это тоже решение линейной системы, по которому восстанавливается оптимальный вектор  $\mathbf{y}^{**} = \mathbf{A}\mathbf{u}^* + \mathbf{y}_0$ , а он, в свою очередь, определяет соответствующие функции состояния и управления. Для достоверного моделирования тепловых процессов точность решения должна быть много больше точности приведения в желаемое состояние.

## 4. Численный пример

Рассмотрим теплопроводящую цепь, состоящую из трех одинаковых однородных стержней ( $L = 3$ ) соединенных двумя ЭП. Без потери общности можно привести задачу (1) к безразмерному виду так, что  $\kappa = \lambda = 1$ ,  $\ell = 3$ . Пусть выбраны следующие параметры системы и управления:  $\alpha = 0.1$ ,  $\beta = 0.5$ ,  $w_0 = w_a = 0$ ,  $T = 4$ ,  $\gamma = 10^5$ . Температура в третьем рабочем стержне переводится к заданной  $w_T = -1$ ,  $I_3 = (2, 3)$ . Расчет производился на однородной сетке ( $t_m - t_{m-1} = T/M$ ,  $z_n - z_{n-1} = \ell/N$ ). Параметры сетки:  $K = 3$ ,  $M = 4$ ,  $N = 9$  ( $N_u = 32$ ,  $N_y = 888$ ).

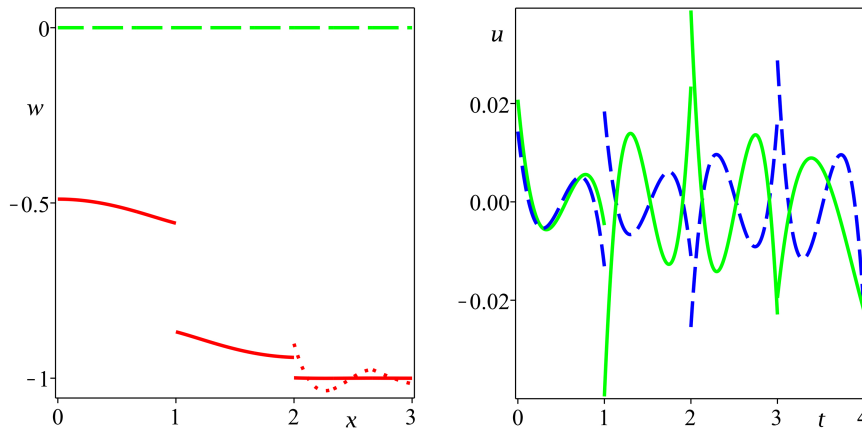


Рис. 2. Слева начальное ( $w_0(x)$ ) и терминальное ( $w(T,x)$ ) распределение температуры, справа оптимальное управление  $u_1(t)$  и  $u_2(t)$

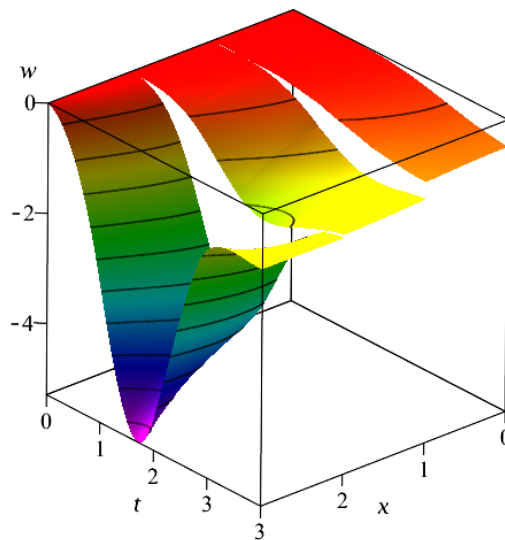


Рис. 3. Оптимальное распределение температуры  $w(t,x)$

На Рис. 2–4 показаны результаты численного моделирования и оптимизации. На Рис. 2 (слева) штриховой линией отмечено начальное распределение температуры в цепи  $w_0(x)$ . Сплошные кривые показывают терминальную температуру  $w(T,x)$  в каждом стержне. Для наглядности пунктирная кривая отмечает масштабированное отклонение температуры в третьем стержне ( $w_T(x) + 100(w(T,x) - w_T(x))$ ). На Рис. 2 (справа) показано изменение во времени компонент вектора управления, а именно, тепловых потоков  $u_1(t)$  (штриховые кривые) и  $u_2(t)$  (сплошные кривые).

Соответствующее распределение температуры  $w(t,x)$  в пространственно-временной области  $\Omega$ , непрерывное везде кроме двух линий  $x = x_1 = 1$  и  $x = x_2 = 2$ , показано на Рис. 3. Как видно из графика, выход на предписанный тепловой режим в рабочем стержне происходит через его предварительное переохлаждение в середине процесса управления. Как видно из Рис. 4, распределение  $q(t,x)$  тепловых потоков через поперечные сечения непрерывно только по пространственной координате  $x$  и терпит разрывы в моменты переключения управления  $t = t_m = m$ ,  $m = 1, 2, 3$ .

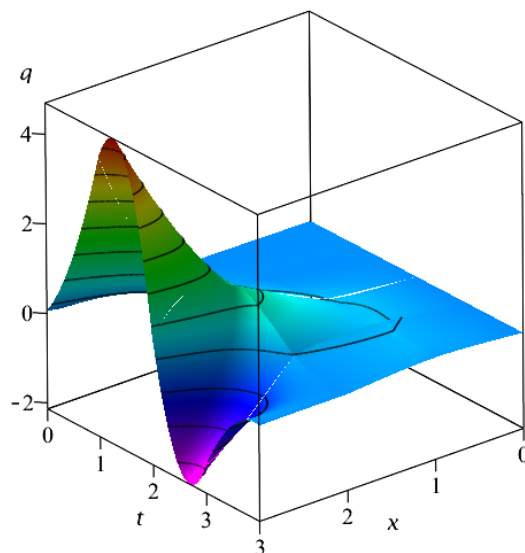


Рис. 4. Оптимальное распределение теплового потока  $q(t, x)$

## 5. Заключение

Предложена обобщенная формулировка задачи оптимального управления термодинамическим процессом в конструкции, состоящей из тонких стержней, которые соединены ЭП, создающими управляемые тепловые потоки. На фиксированном интервале времени минимизируется взвешенная сумма интеграла по времени от квадрата вектора управления и среднеквадратичного отклонения терминальных значений температуры одного из стержней от заданного распределения. Закон Фурье и закон теплообмена с окружающей средой задан в интегральном виде. Первый закон термодинамики, начальные распределения температуры, краевые и межэлементные условия являются существенными локальными ограничениями. Предложен конечно-элементный алгоритм построения полей температуры и тепловых потоков и их дальнейшей оптимизации.

Исследование выполнено по теме государственного задания (№ госрегистрации 123021700055-6).

## Список литературы

1. Бутковский А.Г. Теория оптимального управления системами с распределенными параметрами. М.: Наука, 1965.
2. Лионс Ж.-Л. Оптимальное управление системами, описываемыми уравнениями в частных производных. М.: Мир, 1972.
3. Rauh A., Senkel L., Aschemann H., Saurin V., Kostin G. An integrodifferential approach to modeling, control, state estimation and optimization for heat transfer systems // International Journal of Applied Mathematics and Computer Science (AMCS). 2016. Vol. 26, No. 1. P. 15–30.
4. Kostin G.V., Saurin V.V. Dynamics of Solid Structures. Methods Using Integrodifferential Relations. Berlin: De Gruyter, 2018.
5. Kostin G. Optimization of thermodynamic processes in heat-conducting rods controlled by a Peltier element // 2022 16th International Conference on Stability and Oscillations of Nonlinear Control Systems (Pyatnitskiy's Conference), 2022. IEEE Xplore Digital Library.